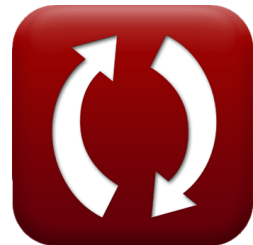


calculatoratoz.comunitsconverters.com

Mesure du flux de courant Formules

[calculatrices !](#)[Exemples!](#)[conversions !](#)

Signet calculatoratoz.com, unitsconverters.com

Couverture la plus large des calculatrices et croissantes - **30 000+ calculatrices !**

Calculer avec une unité différente pour chaque variable - **Dans la conversion d'unité intégrée !**

La plus large collection de mesures et d'unités - **250+ Mesures !**



N'hésitez pas à PARTAGER ce document avec vos amis
!

[Veuillez laisser vos commentaires ici...](#)



Liste de 32 Mesure du flux de courant Formules

Mesure du flux de courant ↗

1) Calcul du flux massique ↗

fx $Q_m = c \cdot Q_{instant}$

Ouvrir la calculatrice ↗

ex $120\text{m}^3/\text{s} = 4 \cdot 30\text{m}^3/\text{s}$

2) Concentration de la variable d'intérêt compte tenu de la décharge instantanée et du flux massique ↗

fx $c = \frac{Q_m}{Q_{instant}}$

Ouvrir la calculatrice ↗

ex $4 = \frac{120\text{m}^3/\text{s}}{30\text{m}^3/\text{s}}$

3) Décharge instantanée étant donné le flux massique instantané ↗

fx $Q_{instant} = \frac{Q_m}{c}$

Ouvrir la calculatrice ↗

ex $30\text{m}^3/\text{s} = \frac{120\text{m}^3/\text{s}}{4}$

Introduction à l'hydraulique fluviale ↗



Débits intermédiaires et élevés ↗

4) Aire de section utilisant la loi de Chezy ↗

fx
$$A = \left(\frac{K \cdot P^{\frac{1}{2}}}{C} \right)^{\frac{2}{3}}$$

[Ouvrir la calculatrice ↗](#)

ex
$$13.15313m^2 = \left(\frac{8 \cdot (80m)^{\frac{1}{2}}}{1.5} \right)^{\frac{2}{3}}$$

5) Aire de section utilisant la loi de Manning ↗

fx
$$A = \left(K \cdot n \cdot P^{\frac{2}{3}} \right)^{\frac{3}{5}}$$

[Ouvrir la calculatrice ↗](#)

ex
$$11.80398m^2 = \left(8 \cdot 0.412 \cdot (80m)^{\frac{2}{3}} \right)^{\frac{3}{5}}$$

6) Décharge instantanée compte tenu de la pente de frottement ↗

fx
$$Q_{\text{instant}} = \sqrt{S_f \cdot K^2}$$

[Ouvrir la calculatrice ↗](#)

ex
$$29.93326m^3/s = \sqrt{14 \cdot (8)^2}$$



7) Fonction de transport déterminée par la loi de Chezy ↗

fx $K = C \cdot \left(\frac{A^{\frac{3}{2}}}{P^{\frac{1}{2}}} \right)$

[Ouvrir la calculatrice ↗](#)

ex $6.97137 = 1.5 \cdot \left(\frac{(12.0m^2)^{\frac{3}{2}}}{(80m)^{\frac{1}{2}}} \right)$

8) Fonction de transport déterminée par la loi de Manning ↗

fx $K = \left(\frac{1}{n} \right) \cdot \frac{(A)^{\frac{5}{3}}}{(P)^{\frac{2}{3}}}$

[Ouvrir la calculatrice ↗](#)

ex $8.222645 = \left(\frac{1}{0.412} \right) \cdot \frac{(12.0m^2)^{\frac{5}{3}}}{(80m)^{\frac{2}{3}}}$

9) Pente de friction ↗

fx $S_f = \frac{Q_{\text{instant}}^2}{K^2}$

[Ouvrir la calculatrice ↗](#)

ex $14.0625 = \frac{(30m^3/s)^2}{(8)^2}$



10) Périmètre mouillé de la loi de Manning ↗

fx $P = \left(\left(\frac{1}{n} \right) \cdot \left(\frac{A^{\frac{5}{3}}}{K} \right) \right)^{\frac{3}{2}}$

[Ouvrir la calculatrice ↗](#)

ex $83.3628m = \left(\left(\frac{1}{0.412} \right) \cdot \left(\frac{(12.0m^2)^{\frac{5}{3}}}{8} \right) \right)^{\frac{3}{2}}$

11) Périmètre mouillé utilisant la loi de Chezy ↗

fx $P = \left(C \cdot \left(\frac{A^{\frac{3}{2}}}{K} \right) \right)^2$

[Ouvrir la calculatrice ↗](#)

ex $60.75m = \left(1.5 \cdot \left(\frac{(12.0m^2)^{\frac{3}{2}}}{8} \right) \right)^2$

Faible débit ↗

12) Débit donné en profondeur à la station de jaugeage ↗

fx $Q = \frac{h_G - h_{csf} - Q^2 \wedge 2}{H_c}$

[Ouvrir la calculatrice ↗](#)

ex $3m^3/s = \frac{6.01m - 0.1m - (2.4)^2}{0.05m}$



13) Profondeur à la station de jaugeage ↗

fx $h_G = h_{csf} + H_c \cdot (Q) + Q^2 / 2$

[Ouvrir la calculatrice ↗](#)

ex $6.01m = 0.1m + 0.05m \cdot (3.0m^3/s) + (2.4)^2 / 2$

14) Profondeur d'arrêt de l'écoulement compte tenu de la profondeur à la station de jaugeage ↗

fx $h_{csf} = h_G - H_c \cdot (Q) - Q^2 / 2$

[Ouvrir la calculatrice ↗](#)

ex $0.1m = 6.01m - 0.05m \cdot (3.0m^3/s) - (2.4)^2 / 2$

15) Tête au contrôle étant donné la profondeur à la station de jaugeage ↗

fx $H_c = \frac{h_G - h_{csf} - Q^2 / 2}{Q}$

[Ouvrir la calculatrice ↗](#)

ex $0.05m = \frac{6.01m - 0.1m - (2.4)^2 / 2}{3.0m^3/s}$

Technique de dilution des mesures de débit ↗

16) Décharge dans le flux par méthode d'injection à débit constant ↗

fx $Q_s = Q_f \cdot \left(\frac{C_1 - C_2}{C_2 - C_0} \right)$

[Ouvrir la calculatrice ↗](#)

ex $60m^3/s = 20m^3/s \cdot \left(\frac{12 - 6}{6 - 4} \right)$



17) Largeur moyenne du flux en utilisant la longueur de mélange ↗

fx

$$B = \sqrt{\frac{L \cdot g \cdot d_{avg}}{0.13 \cdot C \cdot (0.7 \cdot C + 2 \cdot \sqrt{g})}}$$

Ouvrir la calculatrice ↗**ex**

$$49.74608m = \sqrt{\frac{24m \cdot 9.8m/s^2 \cdot 15m}{0.13 \cdot 1.5 \cdot (0.7 \cdot 1.5 + 2 \cdot \sqrt{9.8m/s^2})}}$$

18) Longueur de portée ↗

fx

$$L = \frac{0.13 \cdot B^2 \cdot C \cdot (0.7 \cdot C + 2 \cdot \sqrt{g})}{g \cdot d_{avg}}$$

Ouvrir la calculatrice ↗**ex**

$$24.24563m = \frac{0.13 \cdot (50m)^2 \cdot 1.5 \cdot (0.7 \cdot 1.5 + 2 \cdot \sqrt{9.8m/s^2})}{9.8m/s^2 \cdot 15m}$$

19) Méthode d'injection à débit constant ou jaugeage en plateau ↗

fx

$$Q_f = Q_s \cdot \frac{C_2 - C_0}{C_1 - C_2}$$

Ouvrir la calculatrice ↗**ex**

$$20m^3/s = 60m^3/s \cdot \frac{6 - 4}{12 - 6}$$



20) Profondeur moyenne du ruisseau compte tenu de la longueur du tronçon ↗

fx

$$d_{\text{avg}} = \frac{0.13 \cdot B^2 \cdot C \cdot (0.7 \cdot C + 2 \cdot \sqrt{g})}{L \cdot g}$$

Ouvrir la calculatrice ↗

ex

$$15.15352 \text{m} = \frac{0.13 \cdot (50 \text{m})^2 \cdot 1.5 \cdot (0.7 \cdot 1.5 + 2 \cdot \sqrt{9.8 \text{m/s}^2})}{24 \text{m} \cdot 9.8 \text{m/s}^2}$$

Méthode électromagnétique ↗

21) Courant dans la bobine dans la méthode électromagnétique ↗

fx

$$I = E \cdot \frac{d}{\left(\frac{Q_s}{k}\right)^{\frac{1}{n_{\text{system}}}} - K_2}$$

Ouvrir la calculatrice ↗

ex

$$50.11304 \text{A} = 10 \cdot \frac{3.23 \text{m}}{\left(\frac{60 \text{m}^3/\text{s}}{2}\right)^{\frac{1}{2.63}} - 3}$$

22) Mesure de la décharge en méthode électromagnétique ↗

fx

$$Q_s = k \cdot \left(\left(E \cdot \frac{d}{I} \right) + K_2 \right)^{n_{\text{system}}}$$

Ouvrir la calculatrice ↗

ex

$$60.00169 \text{m}^3/\text{s} = 2 \cdot \left(\left(10 \cdot \frac{3.23 \text{m}}{50.11 \text{A}} \right) + 3 \right)^{2.63}$$



23) Profondeur d'écoulement dans la méthode électromagnétique

[Ouvrir la calculatrice !\[\]\(6e934896f25e6ce1b0dbb50c23abc197_img.jpg\)](#)
fx

$$d = \frac{\left(\left(\frac{Q_s}{k} \right)^{\frac{1}{n_{\text{system}}}} - K_2 \right) \cdot I}{E}$$

ex

$$3.229804m = \frac{\left(\left(\frac{60m^3/s}{2} \right)^{\frac{1}{2.63}} - 3 \right) \cdot 50.11A}{10}$$

Relation étape-sortie

24) Chute réelle au stade étant donné la décharge réelle

[Ouvrir la calculatrice !\[\]\(f2b341b2842f84b06275b7e52ec9f0ae_img.jpg\)](#)
fx

$$F = F_o \cdot \left(\frac{Q_a}{Q_0} \right)^{\frac{1}{m}}$$

ex

$$2.499429m = 1.512m \cdot \left(\frac{9m^3/s}{7m^3/s} \right)^{\frac{1}{0.5}}$$

25) Coefficient de diffusion dans le routage des inondations par diffusion par advection

[Ouvrir la calculatrice !\[\]\(eb1074bfd91059c9cff57cf6b5c22a5b_img.jpg\)](#)
fx

$$D = \frac{K}{2} \cdot W \cdot \sqrt{S}$$

ex

$$800m^2/s = \frac{8}{2} \cdot 100m \cdot \sqrt{4.0}$$



26) Débit instable mesuré ↗

fx
$$Q_M = Q_n \cdot \sqrt{1 + \left(\frac{1}{v_W \cdot S_o} \right) \cdot dh/dt}$$

[Ouvrir la calculatrice ↗](#)

ex
$$14.4 \text{ m}^3/\text{s} = 12 \text{ m}^3/\text{s} \cdot \sqrt{1 + \left(\frac{1}{50.0 \text{ m/s} \cdot 0.10} \right) \cdot 2.2}$$

27) Débit normalisé de l'effet de remous sur la courbe nominale Courbe normalisée ↗

fx
$$Q_0 = Q_a \cdot \left(\frac{F_o}{F} \right)^m$$

[Ouvrir la calculatrice ↗](#)

ex
$$6.9992 \text{ m}^3/\text{s} = 9 \text{ m}^3/\text{s} \cdot \left(\frac{1.512 \text{ m}}{2.5 \text{ m}} \right)^{0.5}$$

28) Débit réel dû à l'effet de remous sur la courbe nominale Courbe normalisée ↗

fx
$$Q_a = Q_0 \cdot \left(\frac{F}{F_o} \right)^m$$

[Ouvrir la calculatrice ↗](#)

ex
$$9.001029 \text{ m}^3/\text{s} = 7 \text{ m}^3/\text{s} \cdot \left(\frac{2.5 \text{ m}}{1.512 \text{ m}} \right)^{0.5}$$



29) Décharge normale à un stade donné sous un débit uniforme constant



fx

$$Q_n = \frac{Q_M}{\sqrt{1 + \left(\frac{1}{v_w \cdot S_o} \right) \cdot dh/dt}}$$

Ouvrir la calculatrice

ex

$$12 \text{m}^3/\text{s} = \frac{14.4 \text{m}^3/\text{s}}{\sqrt{1 + \left(\frac{1}{50.0 \text{m/s} \cdot 0.10} \right) \cdot 2.2}}$$

30) Hauteur de jauge donnée, débit pour les rivières non alluviales



fx

$$G = \left(\frac{Q_s}{C_r} \right)^{\frac{1}{\beta}} + a$$

Ouvrir la calculatrice

ex

$$10.20546 \text{m} = \left(\frac{60 \text{m}^3/\text{s}}{1.99} \right)^{\frac{1}{1.6}} + 1.8$$

31) Relation entre le niveau et le débit des rivières non alluviales



fx

$$Q_s = C_r \cdot (G - a)^\beta$$

Ouvrir la calculatrice

ex

$$59.93768 \text{m}^3/\text{s} = 1.99 \cdot (10.2 \text{m} - 1.8)^{1.6}$$



32) Valeur normalisée de la chute compte tenu de la décharge **fx**

$$F_o = F \cdot \left(\frac{Q_0}{Q_a} \right)^{\frac{1}{m}}$$

Ouvrir la calculatrice **ex**

$$1.512346m = 2.5m \cdot \left(\frac{7m^3/s}{9m^3/s} \right)^{0.5}$$



Variables utilisées

- **a** Constante de lecture de la jauge
- **A** Zone transversale (*Mètre carré*)
- **B** Largeur moyenne du flux (*Mètre*)
- **C** Concentration des variables d'intérêt
- **C₀** Coefficients de Chézy
- **C₀** Concentration initiale du traceur
- **C₁** Concentration élevée de traceur à la section 1
- **C₂** Profil de concentration du traceur à la section 2
- **C_r** Constante de la courbe de notation
- **d** Profondeur du flux (*Mètre*)
- **D** Coefficient de diffusion (*Mètre carré par seconde*)
- **d_{avg}** Profondeur moyenne du ruisseau (*Mètre*)
- **dh/dt** Taux de changement de stade
- **E** Sortie de signal
- **F** Chute réelle (*Mètre*)
- **F₀** Valeur normalisée de la chute (*Mètre*)
- **g** Accélération due à la gravité (*Mètre / Carré Deuxième*)
- **G** Hauteur de la jauge (*Mètre*)
- **H_c** Chef au contrôle (*Mètre*)
- **h_{csf}** Profondeur de cessation d'écoulement (*Mètre*)
- **h_G** Profondeur à la station de jaugeage (*Mètre*)
- **I** Courant dans la bobine (*Ampère*)



- **k** Constante du système k
- **K** Fonction de transport
- **K₂** Constante système K2
- **L** Longueur de mélange (*Mètre*)
- **m** Exposant sur la courbe de notation
- **n** Coefficient de rugosité de Manning
- **n_{system}** Constante du système n
- **P** Périmètre mouillé (*Mètre*)
- **Q** Décharge (*Mètre cube par seconde*)
- **Q₀** Décharge normalisée (*Mètre cube par seconde*)
- **Q_a** Décharge réelle (*Mètre cube par seconde*)
- **Q_f** Taux de décharge constant à C1 (*Mètre cube par seconde*)
- **Q_{instant}** Décharge instantanée (*Mètre cube par seconde*)
- **Q_m** Flux de masse instantané (*Mètre cube par seconde*)
- **Q_M** Débit instable mesuré (*Mètre cube par seconde*)
- **Q_n** Décharge normale (*Mètre cube par seconde*)
- **Q_s** Décharge dans le ruisseau (*Mètre cube par seconde*)
- **Q²** Conditions de commande
- **S̄** Pente du lit
- **S_f** Pente de frottement
- **S_o** Pente du canal
- **v_w** Vitesse de la vague de crue (*Mètre par seconde*)
- **W** Largeur de la surface de l'eau (*Mètre*)
- **β** Courbe de notation Béta constant



Constantes, Fonctions, Mesures utilisées

- **Fonction:** **sqrt**, sqrt(Number)

स्केअर रूट फंक्शन हे एक फंक्शन आहे जे इनपुट म्हणून नॉन-ऋणात्मक संख्या घेते आणि दिलेल्या इनपुट नंबरचे वार्गिक प्रत प्रत करते.

- **La mesure:** **Longueur** in Mètre (m)

Longueur Conversion d'unité ↗

- **La mesure:** **Courant électrique** in Ampère (A)

Courant électrique Conversion d'unité ↗

- **La mesure:** **Zone** in Mètre carré (m^2)

Zone Conversion d'unité ↗

- **La mesure:** **La rapidité** in Mètre par seconde (m/s)

La rapidité Conversion d'unité ↗

- **La mesure:** **Accélération** in Mètre / Carré Deuxième (m/s^2)

Accélération Conversion d'unité ↗

- **La mesure:** **Débit volumétrique** in Mètre cube par seconde (m^3/s)

Débit volumétrique Conversion d'unité ↗

- **La mesure:** **Diffusivité** in Mètre carré par seconde (m^2/s)

Diffusivité Conversion d'unité ↗



Vérifier d'autres listes de formules

- Abstractions des précipitations [Formules ↗](#)
- Méthode de mesure de la vitesse surfacique et des ultrasons pour la mesure du débit [Formules ↗](#)
- Méthodes indirectes de mesure du débit [Formules ↗](#)
- Pertes dues aux précipitations [Formules ↗](#)
- Mesure de l'évapotranspiration [Formules ↗](#)
- Précipitation [Formules ↗](#)
- Mesure du flux de courant [Formules ↗](#)

N'hésitez pas à PARTAGER ce document avec vos amis !

PDF Disponible en

[English](#) [Spanish](#) [French](#) [German](#) [Russian](#) [Italian](#) [Portuguese](#) [Polish](#) [Dutch](#)

4/1/2024 | 7:22:01 AM UTC

[Veuillez laisser vos commentaires ici...](#)

